Radiazione e Relativita' Ristretta

II – Onde nei dielettrici e nei conduttori

Onde nei dielettrici

Leggi delle riflessione e rifrazione

Formule di Fresnel

Riflessione totale

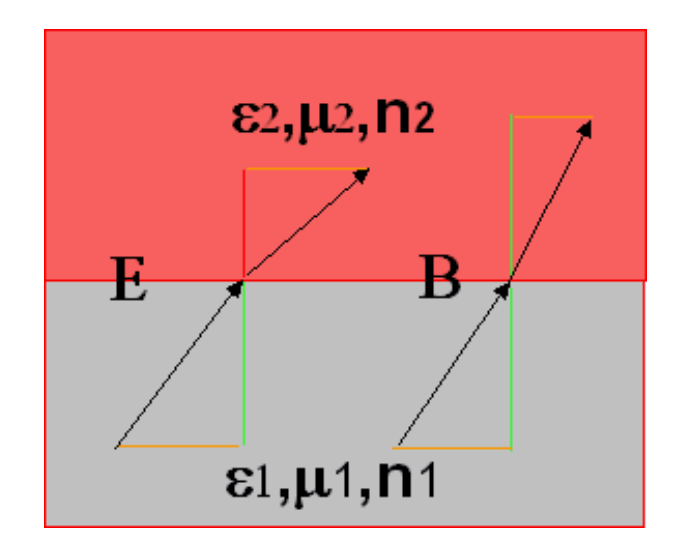
Polarizzazione per riflessione

Condizioni al contorno

Sulla frontiera fra due mezzi valgono sempre le relazioni:

$$\mathcal{E}_1 E_{1\perp} = \mathcal{E}_2 E_{2\perp}$$
 $\mathbf{E}_{1||} = \mathbf{E}_{2||}$

$$B_{1\perp} = B_{2\perp} \quad \frac{1}{\mu_1} \mathbf{B}_{1||} = \frac{1}{\mu_2} \mathbf{B}_{2||}$$



Le condizioni derivano da

$$\oint \mathbf{E} \cdot d\mathbf{l} = 0$$

$$\oiint \mathbf{D} \cdot d\mathbf{S} = 0$$

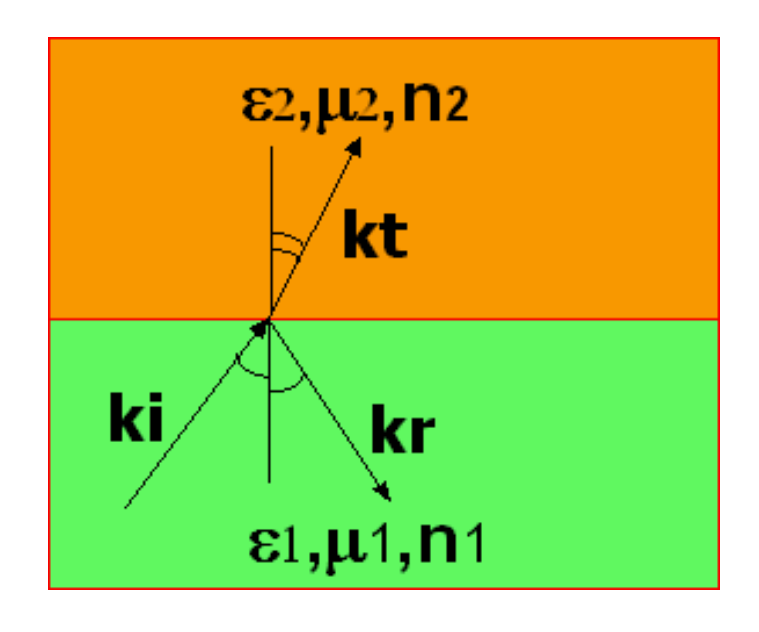
$$\oint \mathbf{H} \cdot d\mathbf{l} = 0$$

$$\oint \mathbf{B} \cdot d\mathbf{S} = 0$$

applicate a linee e volumi chiusi che attraversano la superficie

Riflessione e trasmissione - I

Si applicano le condizioni al contorno alla situazione descritta in figura



Risultati

3 vettori d'onda complanari

$$\theta_i = \theta_r$$

$$\frac{\sin \vartheta_T}{\sin \vartheta_i} = \frac{n_1}{n_2}$$

Componenti:

$$\begin{split} & \boldsymbol{\mathcal{E}}_{1} \left(\tilde{\mathbf{E}}_{\mathbf{0I}} + \tilde{\mathbf{E}}_{\mathbf{0R}} \right)_{x} = \boldsymbol{\mathcal{E}}_{2} \left(\tilde{\mathbf{E}}_{\mathbf{0T}} \right)_{x} \\ & \left(\tilde{\mathbf{E}}_{\mathbf{0I}} + \tilde{\mathbf{E}}_{\mathbf{0R}} \right)_{y,z} = \left(\tilde{\mathbf{E}}_{\mathbf{0T}} \right)_{y,z} \\ & \frac{1}{\mu_{1}} \left(\tilde{\mathbf{B}}_{\mathbf{0I}} + \tilde{\mathbf{B}}_{\mathbf{0R}} \right)_{y,z} = \frac{1}{\mu_{2}} \left(\tilde{\mathbf{B}}_{\mathbf{0T}} \right)_{y,z} \\ & \left(\tilde{\mathbf{B}}_{\mathbf{0I}} + \tilde{\mathbf{B}}_{\mathbf{0R}} \right)_{x} = \left(\tilde{\mathbf{B}}_{\mathbf{0T}} \right)_{x} \end{split}$$

Riflessione e trasmissione - II

Le conseguenze sono diverse per i 2 casi

(i) Polarizzazione nel piano di incidenza Le ampiezze delle onde riflessa e trasmessa sono

$$\tilde{E}_{0R} = \frac{\alpha - \beta}{\alpha + \beta} \tilde{E}_{0I}, \quad \tilde{E}_{0T} = \frac{2}{\alpha + \beta} \tilde{E}_{0I}; \quad \alpha = \frac{\cos \theta_{\text{T}}}{\cos \theta_{\text{I}}}, \quad \beta = \frac{\mu_{\text{I}} n_{\text{2}}}{\mu_{\text{2}} n_{\text{I}}}$$

(ii) Polarizzazione ortogonale al piano di incidenza Le ampiezze delle onde riflessa e trasmessa sono

$$\tilde{E}_{0R} = \frac{1 - \alpha \beta}{1 + \alpha \beta} \tilde{E}_{0I}, \quad \tilde{E}_{0T} = \frac{2}{1 + \alpha \beta} \tilde{E}_{0I}; \quad \alpha = \frac{\cos \theta_{\mathrm{T}}}{\cos \theta_{\mathrm{I}}}, \quad \beta = \frac{\mu_{\mathrm{I}} n_{\mathrm{2}}}{\mu_{\mathrm{2}} n_{\mathrm{I}}}$$

Riflessione e trasmissione - III

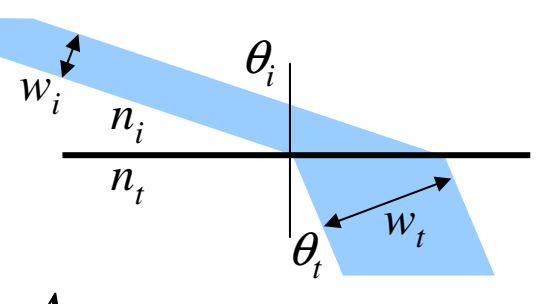
Formule di Fresnel per i coefficienti di riflessione e trasmissione, riferiti alle intensita':

$$R_{\parallel} = \left(\frac{\alpha - \beta}{\alpha + \beta}\right)^2 \quad ; R_{\perp} = \left(\frac{1 - \alpha \beta}{1 + \alpha \beta}\right)^2$$

$$T_{\parallel} = \frac{4\alpha\beta}{\left(\alpha + \beta\right)^2}; \ T_{\perp} = \frac{4\alpha\beta}{\left(1 + \alpha\beta\right)^2}$$

Si osservi:

a)



$$Area_{i,r,t} \propto w_{i,r,t}$$

Riflessione e trasmissione - IV

Infatti:

$$R = \frac{I_{rifl}A_r}{I_{incid}A_i} = \frac{\frac{1}{2}cn_1|E_r|^2A_r}{\frac{1}{2}cn_1|E_i|^2A_i}, \quad A_{i,r,t} \quad \text{aree sottese in incidenza, riflessione, trasmissione}$$

$$A_r = A_i \rightarrow R = \frac{\left|E_r\right|^2}{\left|E_i\right|^2} = \left(\frac{\alpha - \beta}{\alpha + \beta}\right)^2$$

$$\begin{cases} A_{i} = A\cos\theta_{i} \\ A_{t} = A\cos\theta_{t} \end{cases} \rightarrow T = \frac{I_{tras}A_{t}}{I_{incid}A_{i}} = \frac{\frac{1}{2}cn_{2}|E_{t}|^{2}A_{t}}{\frac{1}{2}cn_{1}|E_{i}|^{2}A_{i}} = \frac{n_{2}}{n_{1}}\left(\frac{2}{\alpha+\beta}\right)^{2}\frac{\cos\theta_{t}}{\cos\theta_{i}} = \frac{4\alpha\beta}{(\alpha+\beta)^{2}}$$

$$R = \left(\frac{1 - \alpha \beta}{1 + \alpha \beta}\right)^2$$

$$T = \frac{n_2}{n_1} \left(\frac{2}{1 + \alpha \beta} \right)^2 \frac{\cos \theta_t}{\cos \theta_t} = \frac{4\alpha \beta}{\left(1 + \alpha \beta \right)^2}$$

Riflessione totale

Onda incidente da mezzo piu' denso a uno meno denso:

$$n_1 > n_2$$
, $\sin \theta_T = \frac{n_1}{n_2} \sin \theta_I \rightarrow \theta_T = \frac{\pi}{2} \text{ per } \theta_I < \frac{\pi}{2} \rightarrow 1 = \frac{n_1}{n_2} \sin \theta_{\text{lim}} \rightarrow \theta_{\text{lim}} = \arcsin \frac{n_2}{n_1}$

Poiche' $\theta_T < \pi/2$, se $\theta_I > \theta_{lim}$ solo onda riflessa

Osservazione: come interpretare questo fisicamente?

 $\sin \theta_T > 1 \rightarrow \theta_T$ e' complesso

$$\cos \theta_T = \pm \sqrt{1 - \sin^2 \theta_T} = \pm i \sqrt{\sin^2 \theta_T - 1} = \pm i \sqrt{\sin^2 \left[\arcsin \left(\frac{n_1}{n_2} \sin \theta_I \right) \right] - 1}$$

 $\cos \theta_T$ compare nell'esponenziale complesso che descrive

 $ilde{\mathbf{E}}_{\scriptscriptstyle T}
ightarrow \, \mathit{onda evanescente} \, \mathsf{lungo} \, \mathsf{la} \, \mathsf{superficie} \, \mathsf{di} \, \mathsf{separazione}$

Polarizzazione per riflessione

Riprendendo l'espressione per il campo riflesso con polarizzazione nel piano di incidenza:

$$\tilde{E}_{0R} = \frac{\alpha - \beta}{\alpha + \beta} \tilde{E}_{0I}, \quad \tilde{E}_{0T} = \frac{2}{\alpha + \beta} \tilde{E}_{0I}; \quad \alpha = \frac{\cos \theta_{T}}{\cos \theta_{I}}, \quad \beta = \frac{\mu_{I} n_{2}}{\mu_{2} n_{I}}$$

Si osserva che

$$\tilde{E}_{0R} = 0$$
 quando $\alpha = \beta \rightarrow \frac{\cos \theta_{\rm T}}{\cos \theta_{\rm T}} = \frac{\mu_1 n_2}{\mu_2 n_1} \simeq \frac{n_2}{n_1}$

$$\rightarrow \frac{\sqrt{1 - \left(\frac{n_2}{n_1} \sin \theta_I\right)^2}}{\cos \theta_I} = \frac{n_2}{n_1} \rightarrow \tan \theta_I^B = \left(\frac{n_2}{n_1}\right)$$

Angolo di Brewster Quando $\theta_I = \theta^{\beta}$, l'onda riflessa non ha comp. nel piano di incidenza Quindi:

l'onda e'*polarizzata*

Onde nei conduttori

Numero d'onda complesso

Propagazione e attenuazione

Riflessione e trasmissione

Eq. di Maxwell nei conduttori - I

Legge fondamentale nei conduttori:

$$\mathbf{j} = \sigma \mathbf{E}$$
 Legge di Ohm microscopica

Riscrittura eq. di Maxwell per conduttori:

$$\nabla \cdot \mathbf{E} = \frac{\rho}{\varepsilon_0} \qquad \nabla \times \mathbf{E} = -\frac{\partial \mathbf{B}}{\partial t}$$

$$\nabla \cdot \mathbf{B} = 0 \qquad \nabla \times \mathbf{B} = \mu \sigma \mathbf{E} + \mu \varepsilon \frac{\partial \mathbf{E}}{\partial t}$$

Eq. di Maxwell nei conduttori - II

Eq. di continuita' per la carica:

$$\nabla \cdot \mathbf{j} = -\frac{\partial \rho}{\partial t} \to \frac{\partial \rho}{\partial t} = -\sigma (\nabla \cdot \mathbf{E}) = -\frac{\sigma}{\varepsilon} \rho \to \rho(t) = \rho(0) e^{-\frac{\sigma}{\varepsilon}t}$$

La costante di tempo ε/σ e' normalmente molto piccola: dopo un transiente (di cui ci disinteressiamo) la carica libera va a zero. Quindi:

$$\nabla \cdot \mathbf{E} = 0 \qquad \nabla \times \mathbf{E} = -\frac{\partial \mathbf{B}}{\partial t}$$

$$\nabla \cdot \mathbf{B} = 0 \qquad \nabla \times \mathbf{B} = \mu \sigma \mathbf{E} + \mu \varepsilon \frac{\partial \mathbf{E}}{\partial t}$$

Eq. delle onde nei conduttori

Solito trucco di prendere il rotore del rotore: viene

$$\Delta \mathbf{E} - \mu \varepsilon \frac{\partial^2 \mathbf{E}}{\partial t^2} = \mu \sigma \frac{\partial \mathbf{E}}{\partial t}$$

$$\Delta \mathbf{B} - \mu \varepsilon \frac{\partial^2 \mathbf{B}}{\partial t^2} = \mu \sigma \frac{\partial \mathbf{B}}{\partial t}$$

Soluzione: per onde piane, soliti esponenziali complessi:

$$\Delta \mathbf{E} - \mu \varepsilon \frac{\partial^2 \mathbf{E}}{\partial t^2} = \mu \sigma \frac{\partial \mathbf{E}}{\partial t}$$

$$\tilde{\mathbf{E}} = \tilde{\mathbf{E}}_{\mathbf{0}} e^{ikx} e^{-i\omega t}$$

$$\rightarrow \frac{\partial \mathbf{E}}{\partial t} = -i\omega \mathbf{E}, \frac{\partial^2 \mathbf{E}}{\partial t^2} = -\omega^2 \mathbf{E}, \Delta \mathbf{E} = (ik)^2 \mathbf{E} = -k^2 \mathbf{E}$$

$$\rightarrow -k^2 \mathbf{E} + (\mu \varepsilon \omega^2 + i\omega \mu \sigma) \mathbf{E} = 0$$

$$\rightarrow k^2 = \mu \varepsilon \omega^2 + i\omega \mu \sigma$$

Numero d'onda complesso

Il numero d'onda (o vettore d'onda) ha una parte immaginaria

$$k^{2} = \mu \varepsilon \omega^{2} + i\mu \sigma \omega \rightarrow k = k_{+} + ik_{-}$$

$$k_{\pm} = \omega \sqrt{\frac{\varepsilon \mu}{2}} \left[\sqrt{1 + \left(\frac{\sigma}{\varepsilon \omega}\right)^2} \pm 1 \right]^{1/2}$$

$$\rightarrow \tilde{\mathbf{E}}(x,t) = \tilde{\mathbf{E}}_{\mathbf{0}} e^{i(kx - \omega t)} = \tilde{\mathbf{E}}_{\mathbf{0}} e^{i[k_{+} + ik_{-}]x} e^{-i\omega t} = \tilde{\mathbf{E}}_{\mathbf{0}} e^{-k_{-}x} e^{i(k_{+}x - \omega t)}$$

Quindi l'onda piana si attenua nel propagarsi dentro il conduttore.

Significato di k_{\pm}

Lunghezza di attenuazione e lunghezza d'onda:

$$\lambda = \frac{2\pi}{k_{+}}, n = \frac{ck_{+}}{\omega}$$

$$d = \frac{1}{k_{-}}$$

Comportamenti diversi per buoni e cattivi conduttori

Cattivi:
$$\frac{\sigma}{\varepsilon} \ll \omega \rightarrow \begin{cases} k_{+} \cong \omega \sqrt{\varepsilon \mu} \\ k_{-} \cong \frac{\sigma}{2\varepsilon} \sqrt{\varepsilon \mu} \end{cases}$$
 Buoni: $\frac{\sigma}{\varepsilon} \gg \omega \rightarrow \begin{cases} k_{+} \cong \frac{\sigma}{2} \sqrt{\frac{\mu}{\varepsilon}} \\ k_{-} \cong \frac{\sigma}{2} \sqrt{\frac{\mu}{\varepsilon}} \end{cases}$

In termini di lunghezze caratteristiche: $d \propto \frac{1}{k_{-}} \propto \frac{\varepsilon}{\sigma}, \lambda \propto \frac{1}{k_{+}} \propto \frac{1}{\omega}$

$$\rightarrow$$

$$d \gg \lambda$$

$$d \ll \lambda$$

Propagazione di un'onda piana

Campo elettromagnetico: \boldsymbol{E} oscilla nel piano (x,y)

$$\tilde{\mathbf{E}}(x,t) = \hat{\mathbf{y}}\tilde{E}_0 e^{-k_{-}x} e^{i(k_{+}x - \omega t)}$$

$$\tilde{\mathbf{B}}(x,t) = \hat{\mathbf{k}} \left(\frac{k}{\omega}\right) \tilde{E}_0 e^{-k_- x} e^{i(k_+ x - \omega t)}$$
Consequenze:
• Densita' di eri

$$= \hat{\mathbf{k}} \left(\frac{|k| e^{i\varphi}}{\omega} \right) \tilde{E}_0 e^{-k_{\perp} x} e^{i(k_{\perp} x - \omega t)}$$

Si osserva che **E** e **B** non oscillano in fase; **B** ha un ritardo di fase ϕ Conseguenze:

- Densita' di energia quasi tutta magnetica
- Densita' di energia decresce lungo il percorso dell'onda
- Il conduttore viene scaldato dall'onda

$$|k| = \sqrt{k_+^2 + k_-^2} = \omega \sqrt{\varepsilon \mu \sqrt{1 + \left(\frac{\sigma}{\varepsilon \omega}\right)^2}}, \quad \varphi = \tan^{-1}\left(\frac{k_-}{k_+}\right)$$

Riflessione e trasmissione - I

L'applicazione delle condizioni al contorno per *E, B, D e H* alla superficie di separazione fra 2 mezzi e' piu' laboriosa quando si e' in presenza di conduttori.

Nel caso piu' interessante dielettrico-conduttore, ci si attende in linea di principio presenza di carica e corrente superficiali alla separazione fra i due mezzi :

$$\mathcal{E}_{1}E_{1\perp} - \mathcal{E}_{2}E_{2\perp} = \sigma \qquad \mathbf{E}_{1\parallel} - \mathbf{E}_{2\parallel} = 0$$

$$B_{1\perp} - B_{2\perp} = 0 \qquad \frac{1}{\mu_{1}} \mathbf{B}_{1\parallel} - \frac{1}{\mu_{2}} \mathbf{B}_{2\parallel} = \mathbf{J} \times \hat{\mathbf{n}}$$

Riflessione e trasmissione - II

Ma: sia σ , sia \mathbf{j} devono essere nulli (perche' E_{\perp} e' nullo da entrambi i lati; e perche' ci vorrebbe un campo infinito per avere una corrente superficiale finita), si trovano le solite espressioni per le polarizzazioni parallela e ortogonale al piano di incidenza

$$\tilde{E}_{0R} = \frac{\alpha - \beta}{\alpha + \beta} \tilde{E}_{0I}, \quad \tilde{E}_{0T} = \frac{2}{\alpha + \beta} \tilde{E}_{0I}; \quad \alpha = \frac{\cos \theta_{\text{T}}}{\cos \theta_{\text{I}}}, \quad \beta = \frac{\mu_{\text{I}} n_{\text{2}}}{\mu_{\text{2}} n_{\text{I}}}$$

$$\tilde{E}_{0R} = \frac{1 - \alpha \beta}{1 + \alpha \beta} \tilde{E}_{0I}, \quad \tilde{E}_{0T} = \frac{2}{1 + \alpha \beta} \tilde{E}_{0I}; \quad \alpha = \frac{\cos \theta_{\mathrm{T}}}{\cos \theta_{\mathrm{I}}}, \quad \beta = \frac{\mu_{\mathrm{I}} n_{\mathrm{2}}}{\mu_{\mathrm{2}} n_{\mathrm{I}}}$$

dove pero' adesso β e' un numero complesso

Riflessione e trasmissione - III

• Per un conduttore ideale, $\sigma \rightarrow \infty$, $\beta \rightarrow \infty$ e si ha

$$\tilde{E}_{0R} = -\tilde{E}_{0I}, \quad \tilde{E}_{0T} = 0$$

quindi l'onda e' totalmente riflessa, con sfasamento di π

• Se abbiamo un conduttore reale, σ e' grande ma $<\infty$, e β e' grande in modulo; quindi, sviluppando in serie di potenze di $1/\beta$:

$$\frac{1-\beta}{1+\beta} \cong -\left(1-\frac{1}{\beta^2}\right)^2 \cong \frac{2}{\beta} - 1$$

$$\to R = \left(\frac{1-\beta}{1+\beta}\right)^2 \cong \left(\frac{2}{\beta} - 1\right)^2 \cong 1 - \sqrt{8\frac{\mu_2}{\mu_1}\frac{\omega\varepsilon_1}{\sigma}}$$

Il coefficiente di riflessione dipende dalla frequenza...

→Colore dei metalli

Dispersione

Dispersione nei dielettrici

Dispersione nei conduttori

Dispersione

Evidenza che la propagazione dipende da 3 "costanti": ε , μ , σ . In realta', nessuna delle 3 e' una costante: la dipendenza dalla frequenza e' l'aspetto piu' interessante del problema.

In sintesi, la dipendenza di ε , μ dalla frequenza e' dovuta alla variazione della velocita' di propagazione dell'onda con la frequenza

Questo e' complessivamente non inaspettato alla luce della struttura microscopica della materia: ci sono elettroni (liberi o legati alle molecole) che possono scambiare energia con campi elettromagnetici esterni; il confronto fra la frequenza del campo esterno e quelle proprie di oscillazione (atomiche/molecolari) fissa le caratteristiche della propagazione, inclusa la velocita'

Dispersione nei dielettrici

Modello semplificato: elettrone legato elasticamente nell'atomo, o molecola. Forza di richiamo armonica:

$$F = -kx = -m\omega_0^2 x$$

Giustificazione: configurazione atomica stabile→elettrone in un minimo di potenziale. Sviluppo vicino al minimo:

$$U(x) = U(0) + \frac{dU}{dx} \bigg|_{x=0} x + \frac{1}{2} \frac{d^2 U}{dx^2} \bigg|_{x=0} x^2 + \dots$$

Ora: I termine si puo' porre = 0, II termine deve essere = 0 (forza = 0 in un minimo di U), III termine e' quello di un oscillatore armonico

Modello classico semplificato

Equazione del moto per elettrone legato, con termine di smorzamento (p.es., dovuto a *radiazione*):

$$m\frac{d^2x}{dt^2} = -m\omega_0^2 x - \gamma m\frac{dx}{dt} - eE_{ext}(t)$$

con $E_{ext}(t)$ sinusoidale.

Cerchiamo soluzioni stazionarie, usando il solito formalismo degli esponenziali complessi:

$$\begin{split} \tilde{E}(t) &= \tilde{E}_0 e^{-i\omega t} \\ &\to \tilde{x}(t) = \tilde{x}_0 e^{-i\omega t} \\ &\to \frac{d\tilde{x}}{dt} = -i\omega \tilde{x}(t), \frac{d^2 \tilde{x}}{dt^2} = -\omega^2 \tilde{x}(t) \end{split}$$

Soluzione equazione del moto

$$-\tilde{x}(\omega^{2} - \omega_{0}^{2}) + i\gamma\omega\tilde{x} = -e\frac{\tilde{E}_{0}}{m}$$

$$\tilde{x}_{0}(\omega^{2} - \omega_{0}^{2}) - i\gamma\omega\tilde{x}_{0} = e\frac{\tilde{E}_{0}}{m}$$

$$\to \tilde{x}_{0} = \frac{e\tilde{E}_{0}/m}{(\omega^{2} - \omega_{0}^{2}) - i\gamma\omega}$$

Si nota che:

- 1) La coordinata dell'elettrone e' sfasata rispetto a E_0 (il coefficiente di E_0 e' complesso); la fase varia da $-\pi$ a 0 al crescere della frequenza
- 2) L'ampiezza di oscillazione varia con ω , ed e' max. per $\omega = \omega_0$

Costante dielettrica complessa - I

Momento di dipolo indotto:

$$\tilde{p}(t) = e\tilde{x}(t) = \frac{e^2/m}{(\omega^2 - \omega_0^2) - i\gamma\omega} \tilde{E}_0 e^{-i\omega t}$$

Se ci sono diverse classi di elettroni in ogni molecola, con f_j elettroni nella classe j-esima, e se ci sono N molecole/unita' di volume:

$$\rightarrow \tilde{\mathbf{P}} = \frac{Ne^2}{m} \left(\sum_{j} \frac{f_j}{\left(\boldsymbol{\omega}^2 - \boldsymbol{\omega}_{0j}^2\right) - i\boldsymbol{\gamma}_j \boldsymbol{\omega}} \right) \tilde{\mathbf{E}}_{\mathbf{0}}$$

Costante dielettrica complessa - II

Ricordando la definizione di suscettivita' e costante dielettrica:

$$\tilde{\mathbf{P}} = \varepsilon_0 \tilde{\chi}_e \tilde{\mathbf{E}}$$

$$\tilde{\varepsilon} = \varepsilon_0 \left(1 + \chi_e \right)$$

$$\to \tilde{\varepsilon} = \varepsilon_0 \left[1 + \frac{Ne^2}{\varepsilon_0 m} \left(\sum_j \frac{f_j e^2 / m}{\left(\omega^2 - \omega_{0j}^2 \right) - i \gamma_j \omega} \right) \right]$$

che quindi si ritrova come quantita' complessa

Propagazione di un'onda piana

Onde piane in un mezzo dispersivo:

$$\Delta \tilde{\mathbf{E}} - \tilde{\varepsilon} \mu_0 \frac{\partial^2 \tilde{\mathbf{E}}}{\partial t^2} = 0 \to \tilde{\mathbf{E}}(x, t) = \tilde{\mathbf{E}}_0 e^{i(\tilde{k}x - \omega t)}$$
$$-\tilde{k}^2 \tilde{\mathbf{E}} + \tilde{\varepsilon} \mu_0 \omega^2 \tilde{\mathbf{E}} = 0$$
$$\to \tilde{k}^2 = \tilde{\varepsilon} \mu_0 \omega^2 \to \tilde{k} = \sqrt{\tilde{\varepsilon} \mu_0} \omega$$

Anche qui, il numero d'onda e' complesso:

$$\tilde{k} = k_{+} + ik_{-} \rightarrow E = E_{0}e^{-k_{-}x}e^{i(k_{+}x-\omega t)}$$
 $\alpha = 2k_{-}$ coefficiente di assorbimento
$$v = \frac{\omega}{k_{+}} \quad \text{velocita'} \rightarrow n = \frac{c}{v} = \frac{ck_{+}}{\omega} \quad \text{indice di rifrazione}$$

Notare che qui il numero d'onda complesso non e' dovuto alla conduttivita', ma al termine *dissipativo* nella forza

Parametri della dispersione

$$n = \frac{ck_{+}}{\omega} \cong 1 + \frac{Ne^{2}}{2m\varepsilon_{0}} \sum_{j} \frac{f_{j} \left(\omega_{0j}^{2} - \omega^{2}\right)}{\left(\omega_{0j}^{2} - \omega^{2}\right)^{2} + \gamma_{j}^{2} \omega^{2}}$$

$$\alpha = 2k_{-} \cong \frac{Ne^{2} \omega^{2}}{m\varepsilon_{0}c} \sum_{j} \frac{f_{j} \gamma_{j}}{\left(\omega_{0j}^{2} - \omega^{2}\right)^{2} + \gamma_{j}^{2} \omega^{2}}$$

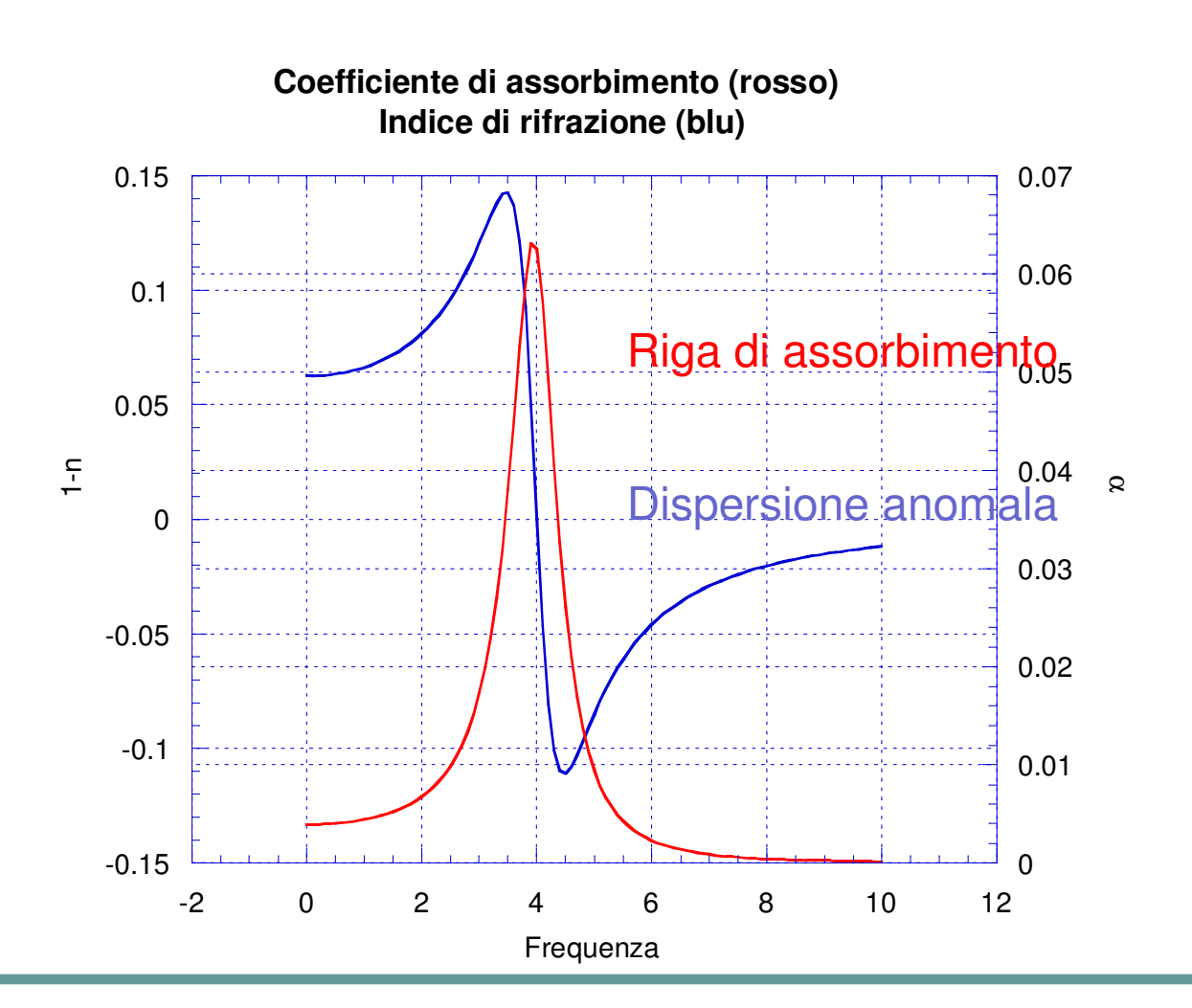
Se $\omega < \omega_i$:

$$\frac{1}{\left(\omega_{j}^{2} - \omega^{2}\right)} \cong \frac{1}{\omega_{j}^{2}} \left(1 + \frac{\omega^{2}}{\omega_{j}^{2}}\right)$$

$$\rightarrow n = 1 + \left(\frac{Ne^{2}}{2m\varepsilon_{0}} \sum_{j} \frac{f_{j}}{\omega_{j}^{2}}\right) + \omega^{2} \left(\frac{Ne^{2}}{2m\varepsilon_{0}} \sum_{j} \frac{f_{j}}{\omega_{j}^{4}}\right)$$

$$\rightarrow n = 1 + A + \frac{B}{\lambda^{2}} \quad \text{legge di Cauchy}$$

Dispersione: $n \in \alpha$ per $\omega \sim \omega_0$



Indice di rifrazione complesso

Si puo' definire un indice di rifrazione complesso, utile per trattare dielettrici assorbitivi

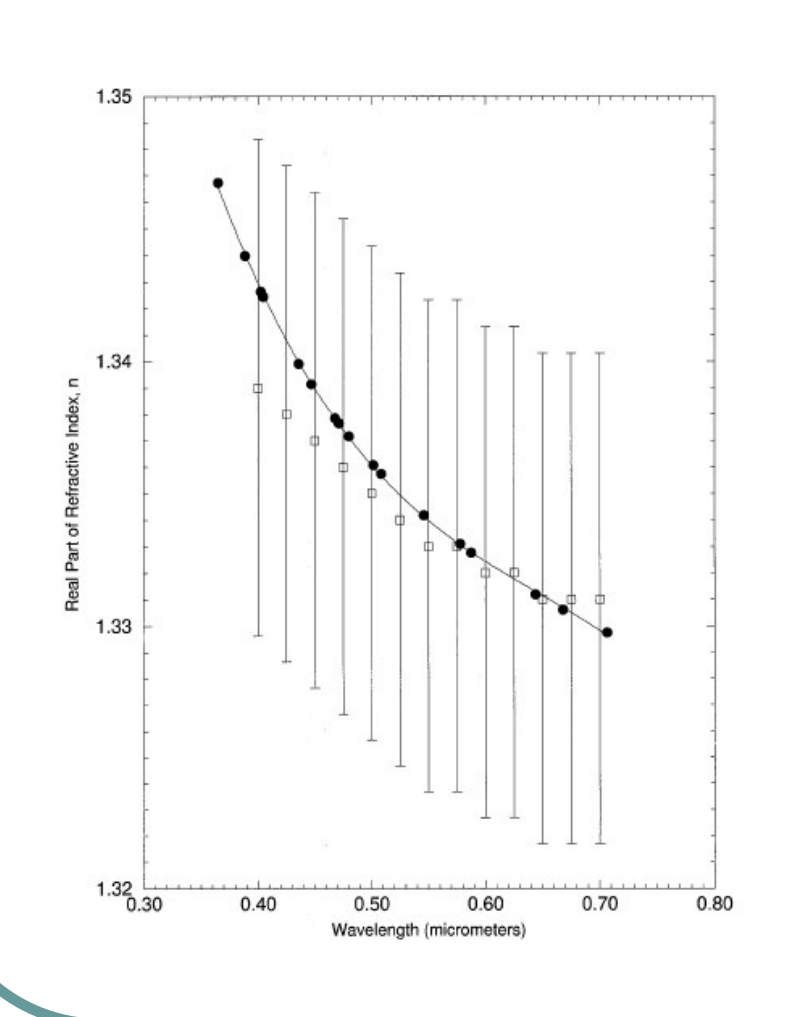
$$\tilde{n} = n_{+} + i n_{-}$$

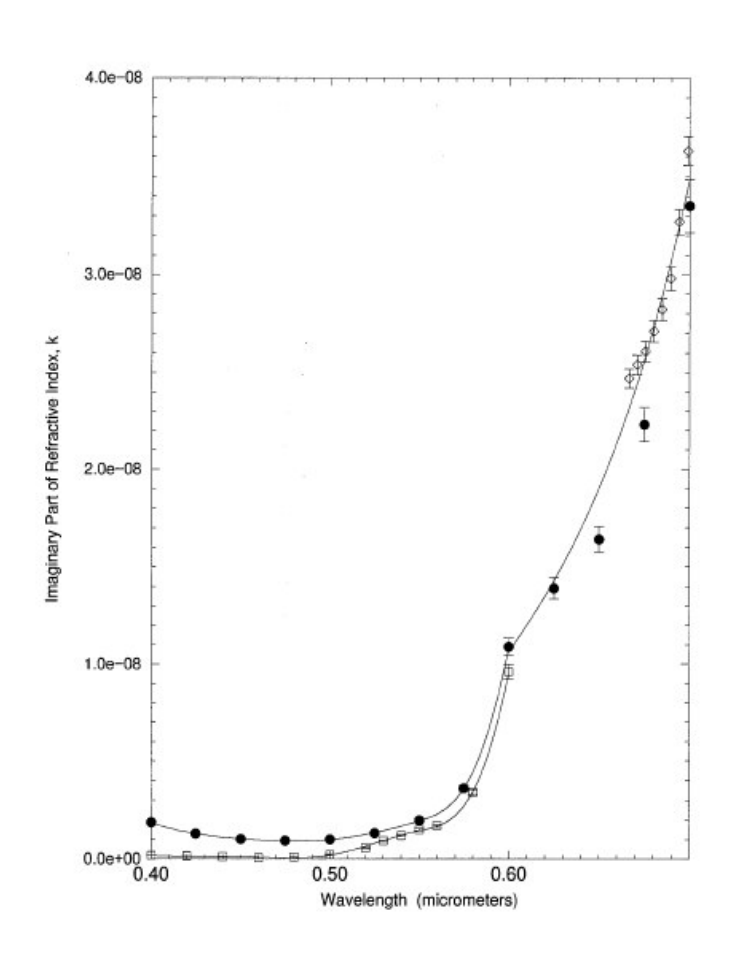
$$n_{+} = n = \frac{ck_{+}}{\omega} \cong 1 + \frac{Ne^{2}}{2m\varepsilon_{0}} \sum_{j} \frac{f_{j} \left(\omega_{0j}^{2} - \omega^{2}\right)}{\left(\omega_{0j}^{2} - \omega^{2}\right)^{2} + \gamma_{j}^{2} \omega^{2}}$$

$$n_{-} = \frac{c\alpha}{2\omega} = \frac{ck_{-}}{\omega} \cong \frac{Ne^{2}\omega}{2m\varepsilon_{0}c} \sum_{j} \frac{f_{j}\gamma_{j}}{\left(\omega_{0j}^{2} - \omega^{2}\right)^{2} + \gamma_{j}^{2}\omega^{2}}$$

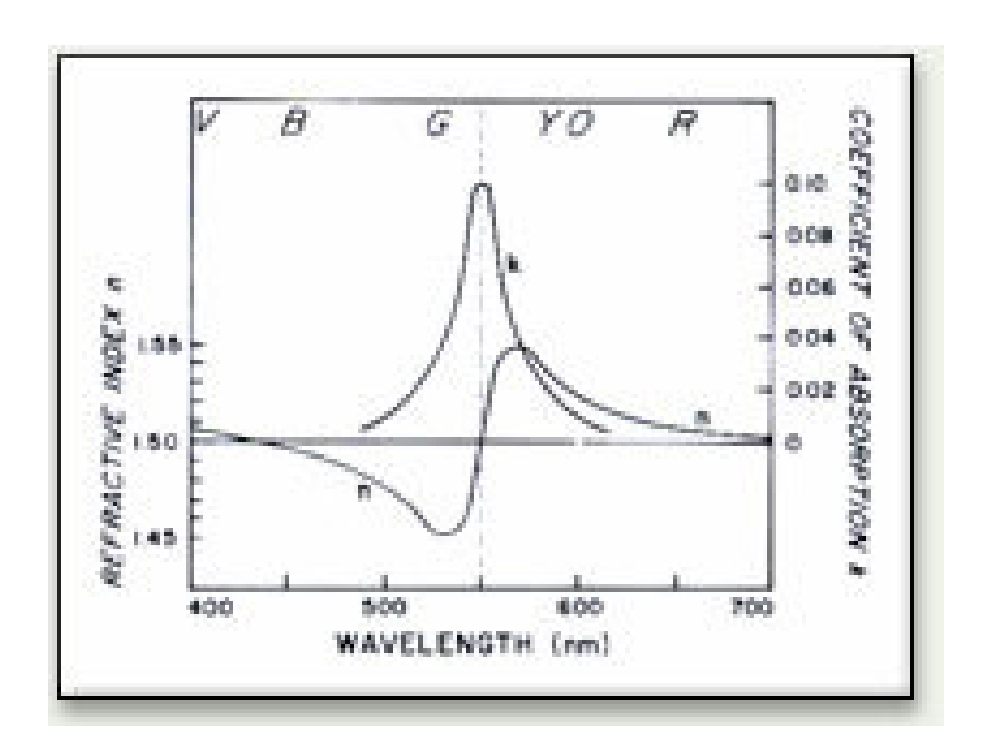
Approssimazioni valide quando n -1, n_{\perp} << 1, p.es. nei gas

Acqua a 25⁰





Filtro violetto



Dispersione nei conduttori

Modello semplificato: elettroni liberi Differenze rispetto ai dielettrici:

- Nessuna forza di richiamo → Nessuna frequenza propria
- 2) Generazione di corrente, invece che di polarizzazione

$$m\frac{d^2x}{dt^2} = -\gamma m\frac{dx}{dt} - eE_{ext}(t)$$

$$\rightarrow -\omega^2 \tilde{x} = +i\gamma \omega \tilde{x} - e \frac{\tilde{E}_0}{m}$$

Conduttivita' complessa

Densita' di corrente generata:

$$\tilde{x}_0 = -\frac{e\tilde{E}_0}{m} \frac{1}{\omega^2 + i\gamma\omega}$$

$$\frac{d\tilde{x}}{dt} = -i\omega \tilde{x}_0 e^{-i\omega t}$$

$$\tilde{\mathbf{J}} = Ne \frac{d\tilde{\mathbf{x}}}{dt} \to \tilde{\mathbf{J}} = \frac{Ne^2 i\omega}{m} \frac{\tilde{\mathbf{E}}}{\omega^2 + i\gamma\omega} = \frac{Ne^2 i}{\underline{m(\omega + i\gamma)}} \tilde{\mathbf{E}}$$

$$\sigma = \frac{Ne^2}{\underbrace{m(\gamma - i\omega)}_{\sigma}} = \frac{Ne^2}{m} \frac{\gamma + i\omega}{\gamma^2 + \omega^2}$$

Generalizzazione della definizione di conduttivita' Significato: corrente e campo non sono in fase

Indice di rifrazione complesso - I

Ricordando l'espressione del numero d'onda complesso, vediamo l'effetto della conduttivita' anche lei diventata complessa:

$$k^{2} = \mu \varepsilon \omega^{2} + i\omega \mu \sigma \rightarrow k^{2} = \mu \varepsilon \omega^{2} + i\omega \mu \frac{Ne^{2}/m}{-i\omega + \gamma}$$

$$= \mu \varepsilon \omega^{2} + i\omega \mu \frac{Ne^{2}/m}{\omega^{2} + \gamma^{2}} \left(+i\omega + \gamma \right) = \mu \varepsilon \omega^{2} + \frac{Ne^{2}/m}{\omega^{2} + \gamma^{2}} \left(-\omega^{2}\mu + i\omega\mu\gamma \right)$$

$$\rightarrow \frac{k^{2}}{\omega^{2}} = \left(\varepsilon \mu - \frac{Ne^{2}\mu}{m} \frac{1}{\omega^{2} + \gamma^{2}} \right) + i\frac{Ne^{2}}{m} \frac{\omega\mu\gamma}{\omega^{2} + \gamma^{2}}$$

Si puo' definire un indice di rifrazione anche per i conduttori:

$$\tilde{n} = \frac{c\tilde{k}}{\omega} = \sqrt{\varepsilon\mu - \frac{Ne^2\mu}{m} \frac{1}{\omega^2 + \gamma^2} + i\frac{Ne^2}{m} \frac{\omega\mu\gamma}{\omega^2 + \gamma^2}}$$

Indice di rifrazione complesso - II

$$\frac{k^{2}}{\omega^{2}} = \left(\varepsilon\mu - \frac{Ne^{2}\mu}{m} \frac{1}{\omega^{2} + \gamma^{2}}\right) + i\frac{Ne^{2}}{m} \frac{\omega\mu\gamma}{\omega^{2} + \gamma^{2}} \equiv c^{2}\tilde{n}^{2}$$

$$\tilde{n} \equiv n' + in'' \rightarrow \tilde{n}^{2} = \left(n' + in''\right)^{2} = n'^{2} - n''^{2} + 2in'n'' \underset{n'' \ll n'}{\approx} n'^{2} + 2in'n'' = n'\left(n' + 2in''\right)$$

$$\begin{cases}
n' \approx \frac{1}{c} \sqrt{\varepsilon\mu - \frac{Ne^{2}\mu}{m} \frac{1}{\omega^{2} + \gamma^{2}}} = \frac{\sqrt{\varepsilon\mu}}{c} \left(\sqrt{1 - \frac{Ne^{2}}{\varepsilon m} \frac{1}{\omega^{2} + \gamma^{2}}}\right) \\
+ \sqrt{1 - \frac{Ne^{2}\mu}{\varepsilon m} \frac{\omega\mu\gamma}{\omega^{2} + \gamma^{2}}} \\
\sqrt{1 - \frac{Ne^{2}\mu}{\varepsilon m} \frac{1}{\omega^{2} + \gamma^{2}}}
\end{cases}$$

Propagazione nel plasma - I

Plasma: stato particolare della materia, in cui (normalmente ad alta *T*) elettroni e nuclei restano slegati

- → In un plasma si trovano molte cariche libere
- → Conduttivita' elevata

Es.: Propagazione onde radio nella ionosfera

In un plasma diluito, γ -0, σ e' immaginaria pura e si ha:

$$\mu \cong \mu_0, \varepsilon \cong \varepsilon_0, \omega_p \equiv e \sqrt{\frac{N}{m\varepsilon_0}}$$

$$\to k^2 \cong \frac{1}{c^2} \left(\omega^2 - \omega_P^2 \right)$$

 $\omega_{\!\scriptscriptstyle D}$ e' la *frequenza di plasma* del mezzo

Propagazione nel plasma - II

Onde con frequenza > $\omega_{\rm p}$: numero d'onda reale

→ Propagazione regolare

$$v = \frac{\omega}{k} = c \frac{1}{\sqrt{1 - \left(\frac{\omega_p}{\omega}\right)^2}}$$

$$n = \frac{c}{v} = \sqrt{1 - \left(\frac{\omega_p}{\omega}\right)^2}$$

Onde con frequenza < $\omega_{\rm p}$: numero d'onda complesso

→ Attenuazione con lunghezza caratteristica

$$d = \frac{c}{\sqrt{\omega_p^2 - \omega^2}}$$